

FI 193 – Teoria Quântica de Sistemas de Muitos Corpos

2º Semestre de 2023

01/08/2023

Aula 1

<http://sites.ifi.unicamp.br/emiranda/> (Aba Ensino)

Ementa (estimada) do curso:

- Alguns modelos comuns
- Teoria de perturbação
- Aplicações clássicas
- Resposta linear
- Supercondutividade

Avaliação: listas (50%) e monografia (50%)

Bibliografia: Notas de aula (serão postadas no site)
Mahan, Fetter & Walecka, Coleman

O problema de muitos corpos

CRISTAL: ÍONS E ELÉTRONS

PRIMEIRA ABORDAGEM: RESOLVER $(\hbar = 1, \hbar c)$

$$H |\Psi(t)\rangle = i \partial_t |\Psi(t)\rangle \quad \text{OU}$$

$$H |\Psi_E\rangle = E |\Psi_E\rangle$$

PARA OS ELÉTRONS DADA A REDE DE ÍONS.

$$\underline{N_e = 10^{23}}$$

$$H = \sum_{i=1}^{N_e} \frac{\vec{p}_i^2}{2m} + \sum_{i=1}^{N_e} V(\vec{r}_i) + \sum_{i < j} \underline{U(\vec{r}_i - \vec{r}_j)}$$

$$U(\vec{r}) = \frac{e^2}{r}$$

$\Psi(\vec{r}_1, \dots, \vec{r}_{N_e}) \rightarrow 3 \times N_e$ VARIÁVEIS

ABSOLUTAMENTE IMPOSSÍVEL DE SER RESOLVIDO NUMERICAMENTE, NEM A ARMAZENAGEM É POSSÍVEL

EXPERIMENTOS MEDEM QUANTIDADES MAIS SIMPLES,
QUE REPRESENTAM MÉDIAS SOBRE OS ELÉTRONS,
MÉDIAS TEMPORAIS, MÉDIAS ESPACIAIS, ETC.

A IDEIA É FOCAR EM OBJETOS MAIS SIMPLES!

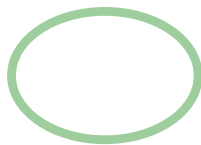
(a) MATRIZ DENSIDADE DE UM CORPO:

$$S(\vec{r}, \vec{r}') = \int d^3r_2 d^3r_3 \dots d^3r_N \psi^*(\vec{r}', \vec{r}_2, \vec{r}_3, \dots, \vec{r}_N) \times \\ \times \psi(\vec{r}, \vec{r}_2, \vec{r}_3, \dots, \vec{r}_N)$$

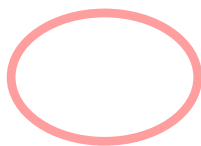
COM ELA É POSSÍVEL CALCULAR QUANTIDADES
FÍSICAS, COMO QUALQUER VALOR ESPERADO DE
UM OPERADOR DE UM CORPO.

(b) FUNÇÕES DE GREEN:

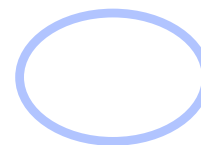
$$1 \text{ CORPO: } G(\vec{r}_2, t_2; \vec{r}_1, t_1) = -i \langle \psi_0 | T [\psi(\vec{r}_2, t_2) \psi^\dagger(\vec{r}_1, t_1)] | \psi_0 \rangle$$



supercondutores



ferromagnetos



antiferromagnetos

hydrogen 1 H 1.00794(7)																	helium 2 He 4.002602(2)						
lithium 3 Li 6.941(2)	beryllium 4 Be 9.012182(3)	<div style="border: 1px solid black; padding: 5px; width: fit-content; margin: auto;"> <p>Key:</p> <p>element name</p> <p>atomic number</p> <p>symbol</p> <p>2003 atomic weight (mean relative mass)</p> </div>																boron 5 B 10.811(7)	carbon 6 C 12.011(8)	nitrogen 7 N 14.0067(7)	oxygen 8 O 15.9994(3)	fluorine 9 F 18.9984032(5)	neon 10 Ne 20.1797(6)
sodium 11 Na 22.989770(2)	magnesium 12 Mg 24.3050(6)																	aluminium 13 Al 26.981538(2)	silicon 14 Si 28.0855(3)	phosphorus 15 P 30.973761(2)	sulfur 16 S 32.065(5)	chlorine 17 Cl 35.453(2)	argon 18 Ar 39.948(1)
potassium 19 K 39.0983(1)	calcium 20 Ca 40.078(4)	scandium 21 Sc 44.955910(8)	titanium 22 Ti 47.867(1)	vanadium 23 V 50.9415(1)	chromium 24 Cr 51.9961(6)	manganese 25 Mn 54.938049(9)	iron 26 Fe 55.845(2)	cobalt 27 Co 58.933200(9)	nickel 28 Ni 58.6934(4)	copper 29 Cu 63.546(3)	zinc 30 Zn 65.38(2)	gallium 31 Ga 69.723(1)	germanium 32 Ge 72.64(1)	arsenic 33 As 74.92160(2)	selenium 34 Se 78.96(3)	bromine 35 Br 79.904(1)	krypton 36 Kr 83.798(2)						
rubidium 37 Rb 85.4678(3)	strontium 38 Sr 87.62(1)	yttrium 39 Y 88.90585(2)	zirconium 40 Zr 91.224(2)	niobium 41 Nb 92.90638(2)	molybdenum 42 Mo 95.96(2)	technetium 43 Tc [98]	ruthenium 44 Ru 101.07(2)	rhodium 45 Rh 102.90550(2)	palladium 46 Pd 106.42(1)	silver 47 Ag 107.8682(2)	cadmium 48 Cd 112.411(8)	indium 49 In 114.818(3)	tin 50 Sn 118.710(7)	antimony 51 Sb 121.760(1)	tellurium 52 Te 127.60(3)	iodine 53 I 126.90447(3)	xenon 54 Xe 131.293(6)						
caesium 55 Cs 132.90545(2)	barium 56 Ba 137.327(7)	lutetium 71 Lu 174.9668(1)	hafnium 72 Hf 178.49(2)	tantalum 73 Ta 180.9479(1)	tungsten 74 W 183.84(1)	rhenium 75 Re 186.207(1)	osmium 76 Os 190.23(3)	iridium 77 Ir 192.217(3)	platinum 78 Pt 195.078(2)	gold 79 Au 196.96655(2)	mercury 80 Hg 200.59(2)	thallium 81 Tl 204.3833(2)	lead 82 Pb 207.2(1)	bismuth 83 Bi 208.98038(2)	polonium 84 Po [209]	astatine 85 At [210]	radon 86 Rn [222]						
francium 87 Fr [223]	radium 88 Ra [226]	lawrencium 103 Lr [262]	rutherfordium 104 Rf [267]	dubnium 105 Db [268]	seaborgium 106 Sg [271]	bohrium 107 Bh [272]	hassium 108 Hs [270]	meitnerium 109 Mt [276]	darmstadtium 110 Ds [281]	roentgenium 111 Rg [280]	ununbium 112 Uub [285]	ununtrium 113 Uut [284]	ununquadium 114 Uuq [289]	ununpentium 115 Uup [288]	ununhexium 116 Uuh [293]	ununseptium 117 Uus —	ununoctium 118 Uuo [294]						

Lanthanoids

lanthanum 57 La 138.9055(2)	cerium 58 Ce 140.116(1)	praseodymium 59 Pr 140.90765(2)	neodymium 60 Nd 144.24(3)	promethium 61 Pm [145]	samarium 62 Sm 150.36(3)	europium 63 Eu 151.964(1)	gadolinium 64 Gd 157.25(3)	terbium 65 Tb 158.92534(2)	dysprosium 66 Dy 162.500(1)	holmium 67 Ho 164.93032(2)	erbium 68 Er 167.259(3)	thulium 69 Tm 168.93421(2)	ytterbium 70 Yb 173.054(5)
actinium 89 Ac [227]	thorium 90 Th 232.0381(1)	protactinium 91 Pa 231.03688(2)	uranium 92 U 238.02891(3)	neptunium 93 Np [237]	plutonium 94 Pu [244]	americium 95 Am [243]	curium 96 Cm [247]	berkelium 97 Bk [247]	californium 98 Cf [251]	einsteinium 99 Es [252]	fermium 100 Fm [257]	mendelevium 101 Md [258]	nobelium 102 No [259]

Actinoids

Quebra espontânea de simetria

A emergência na física da matéria condensada e as quebras espontâneas de simetria, *Ciencia & Cultura* 65, 32 (2013)

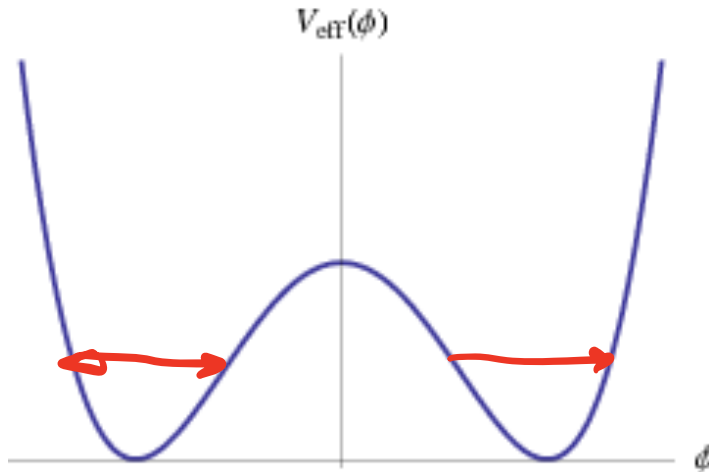
O ESTADO FUNDAMENTAL DE UM SISTEMA TEM MENOS SIMETRIA QUE O HAMILTONIANO.

FERROMAGNETO: $\vec{M} = \sum_i \langle \vec{S}_i \rangle \neq 0$ SE $T < T_c$

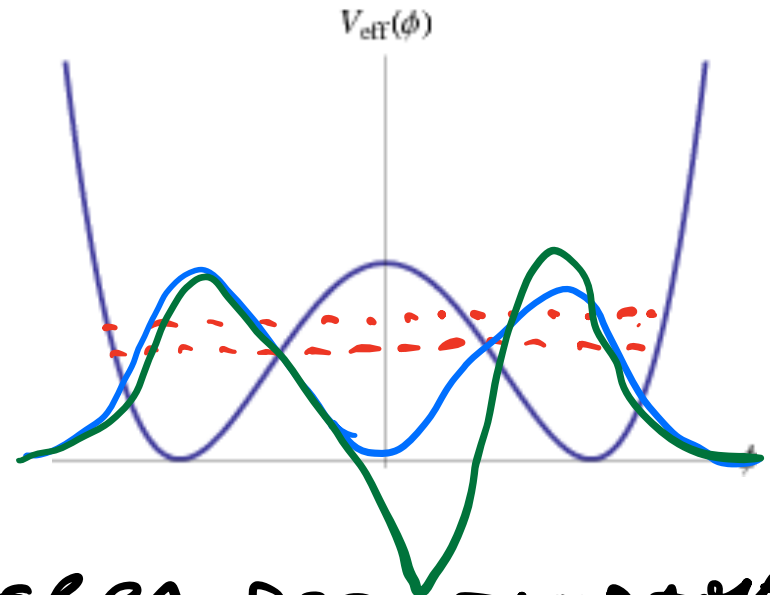
EMBORA H SEJA INVARIANTE POR ROTAÇÕES DE SPIN.

Comportamento clássico X quântico

Clássico



Quântico

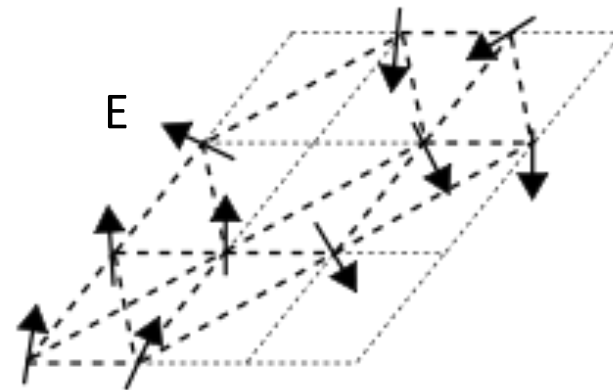
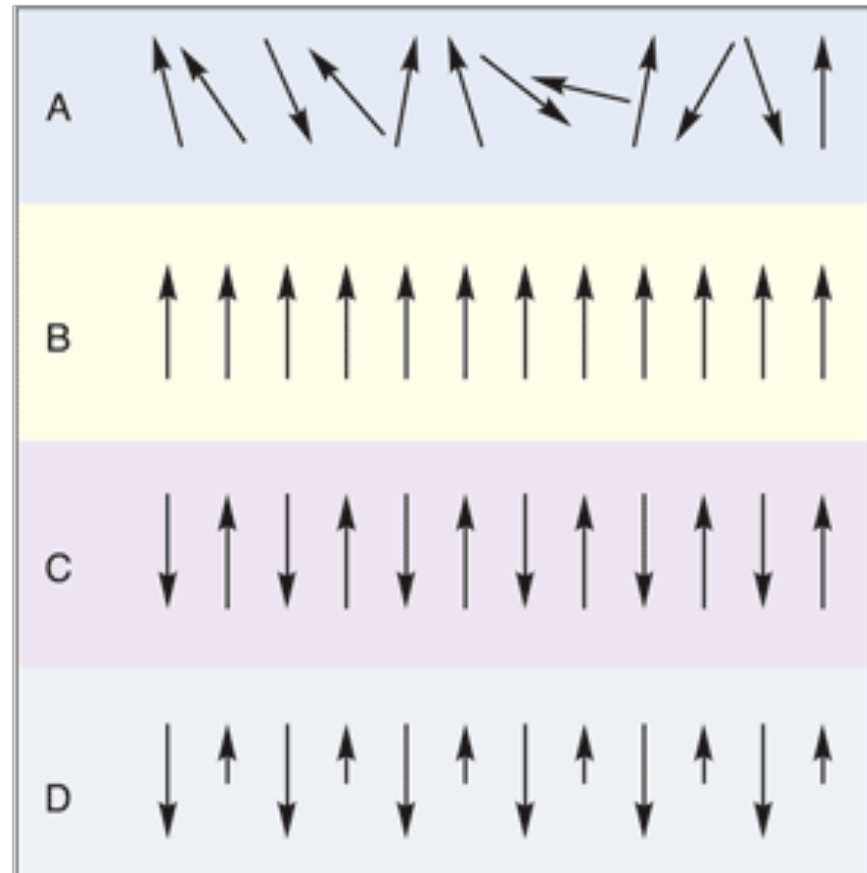


O SISTEMA CLÁSSICO QUEBRA ESPONTANEAMENTE
A SIMETRIA $(\phi \rightarrow -\phi)$ DE $V(\phi)$ E DE H .

Ordem magnética

- A. Paramagnetismo
- B. Ferromagnetismo
- C. Antiferromagnetismo
- D. Ferrimagnetismo
- E. Vidro de spin

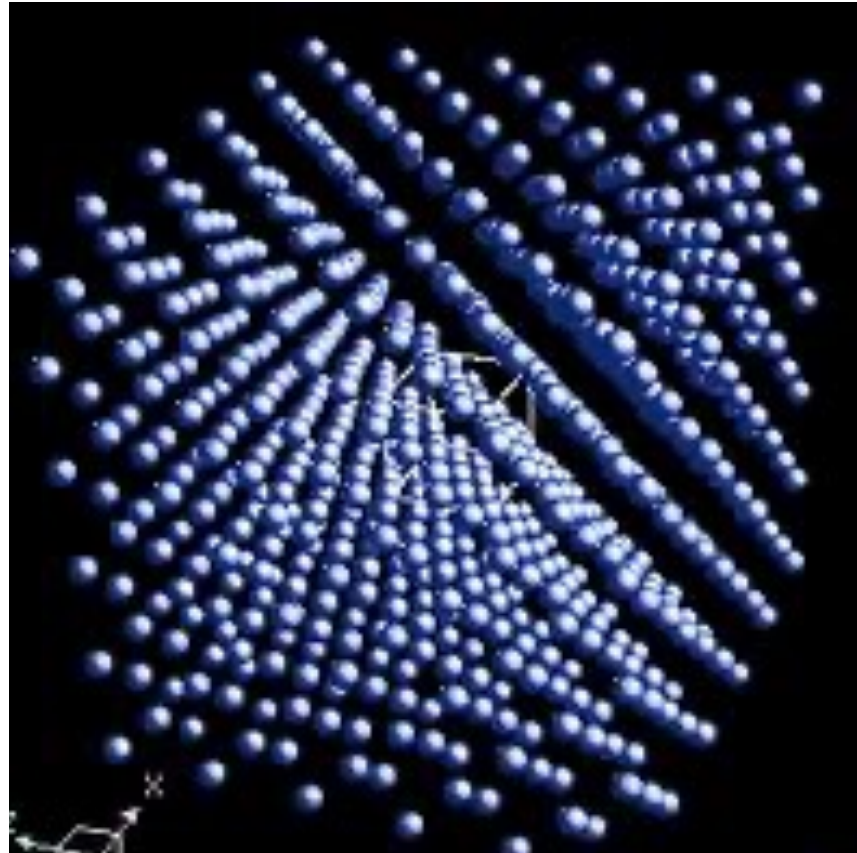
Parâmetros de ordem



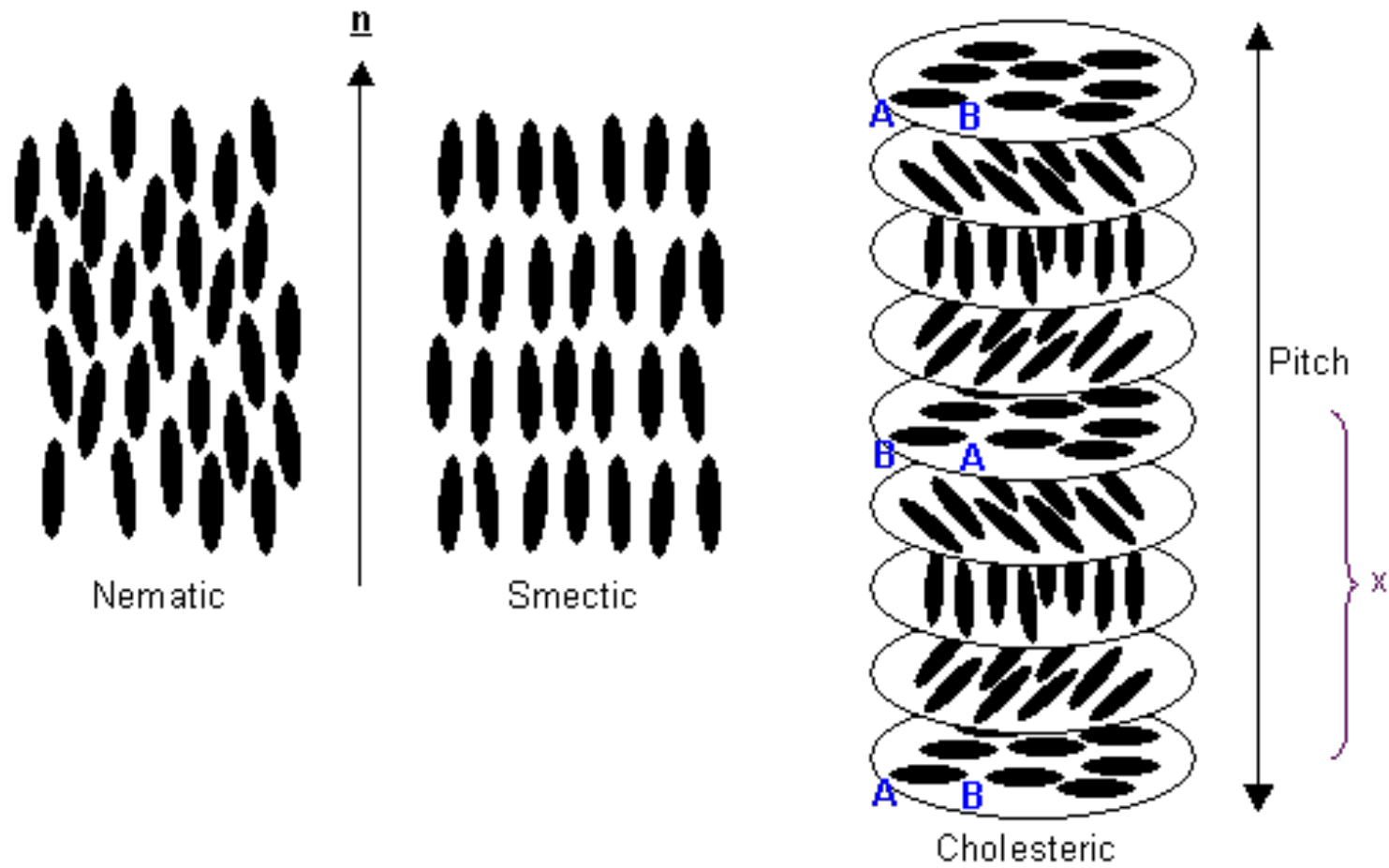
Ordem cristalina

DENSIDADE $\rho(\vec{r})$:

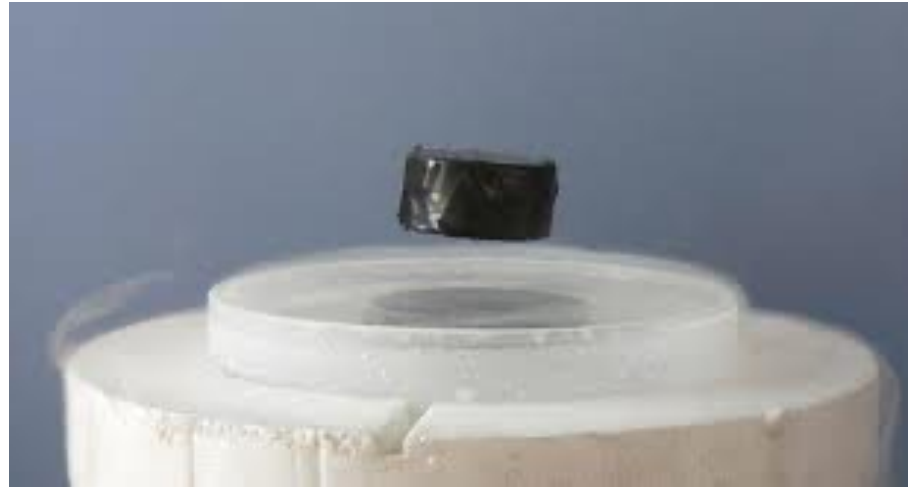
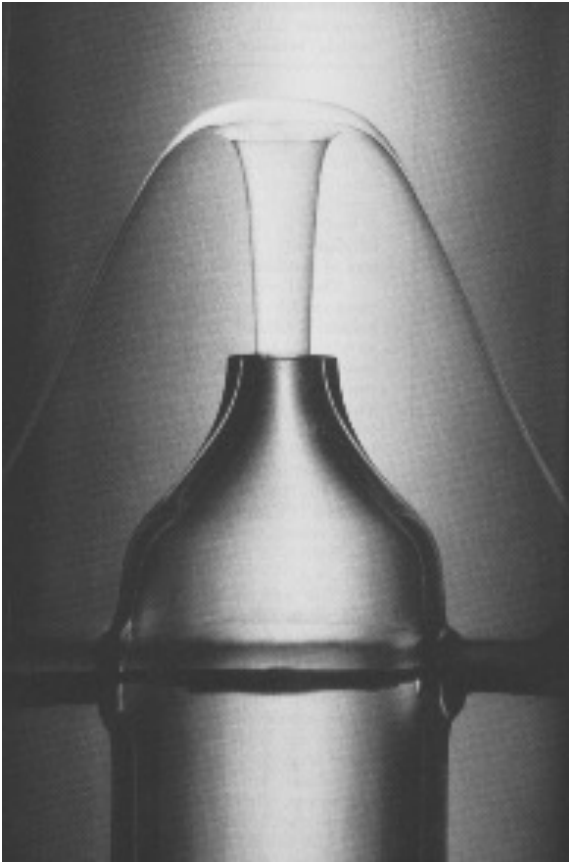
$$\tilde{\rho}(\vec{q}) = \int d\vec{x} e^{i\vec{q}\cdot\vec{x}} \rho(\vec{x})$$



Cristais líquidos



Ordens superfluida e supercondutora



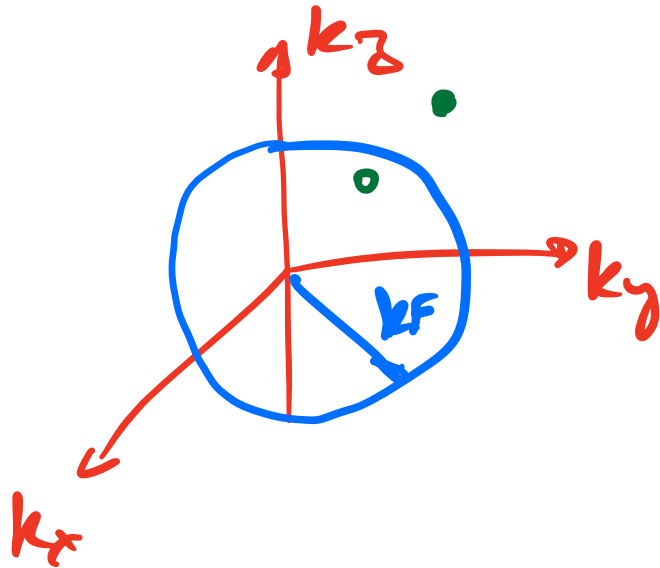
MATRIZ DENS. DE UM CORPO:

$$\rho(\vec{r}, \vec{r}') \xrightarrow{|\vec{r}-\vec{r}'| \rightarrow \infty} \begin{cases} 0 & T > T_c \\ \text{CONST.} & T < T_c \end{cases}$$

Excitações elementares

DESCRIÇÃO DOS ESTADOS EXCITADOS DE UM SISTEMA: EXEMPLO: ELÉTRONS/FÉRMIONS

SEM INTERAÇÃO:



EST. FUND.:

ESTADOS COM $k < k_F$ SÃO

CHEIOS E TODOS COM

$k > k_F$ SÃO VAZIOS

EXCITAÇÕES SÃO PARES

ELÉTRON - BURACO

E COM INTERAÇÕES?: TEORIA DOS LÍQUIDOS DE FERMÍ:

(a) EXCITAÇÕES ELEMENTARES ESTÃO NUMA CORRESPONDÊNCIA UM PARA UM COM AS DO SISTEMA LIVRE.

b) AS MASSAS EFETIVAS DOS

QUASE-ELETRONS (BURACOS)

$$m^* > m$$

c) HÁ INTERAÇÕES EFETIVAS

ENTRE AS QUASE-PARTÍCULAS

QUE AFETAM AS QUANTIDADES

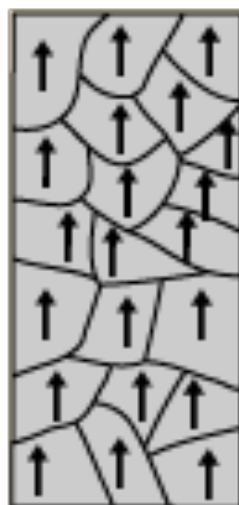
FÍSICAS

Defeitos:

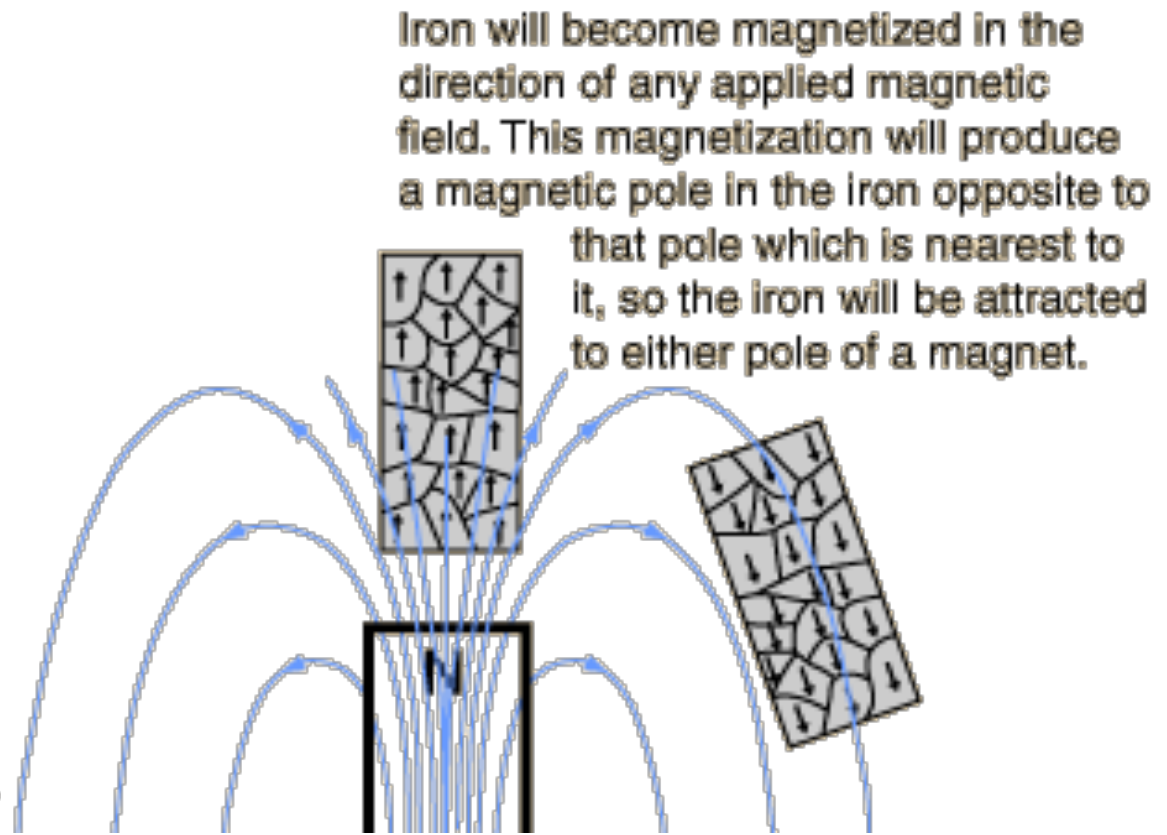
Ferromagnetismo e domínios



In bulk material the domains usually cancel, leaving the material unmagnetized.



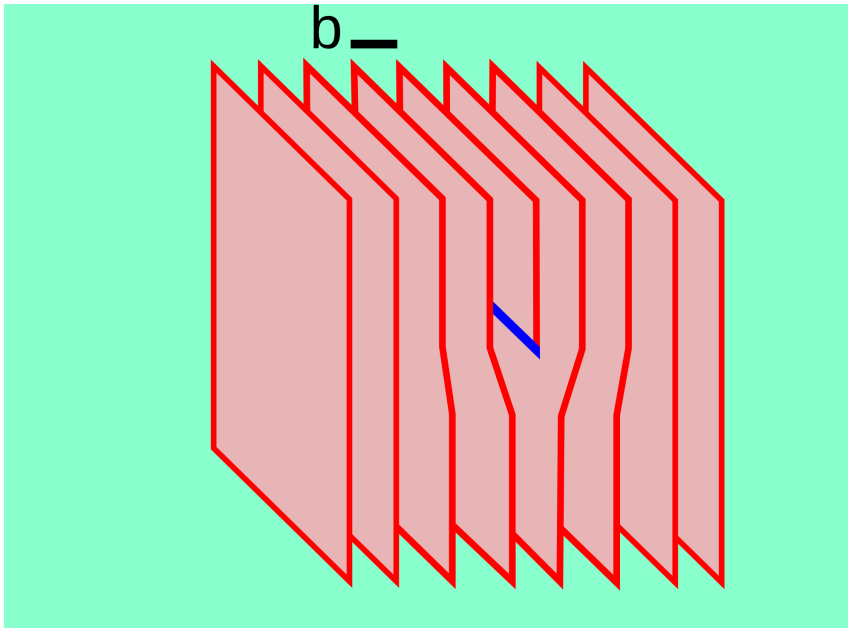
Externally applied magnetic field.



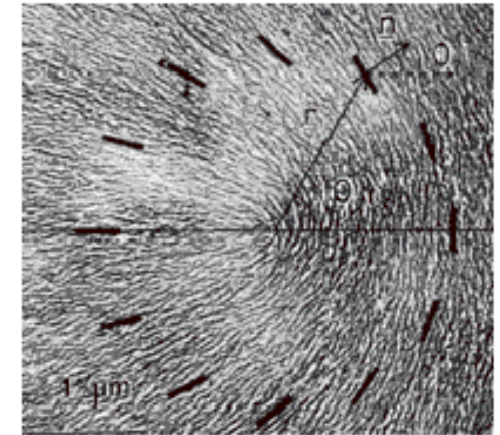
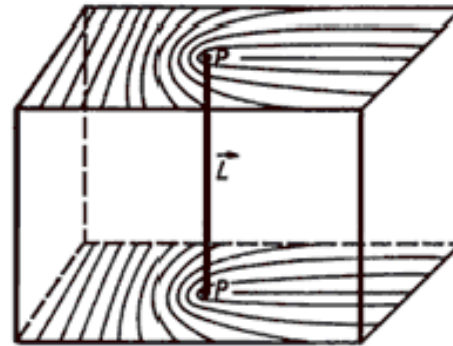
Iron will become magnetized in the direction of any applied magnetic field. This magnetization will produce a magnetic pole in the iron opposite to that pole which is nearest to it, so the iron will be attracted to either pole of a magnet.

Defeitos

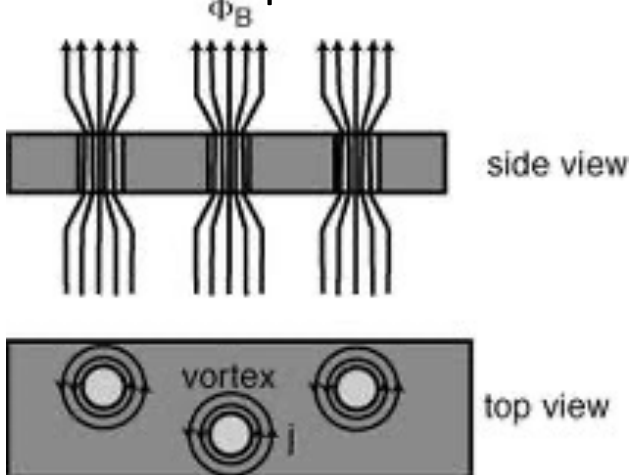
Discordância



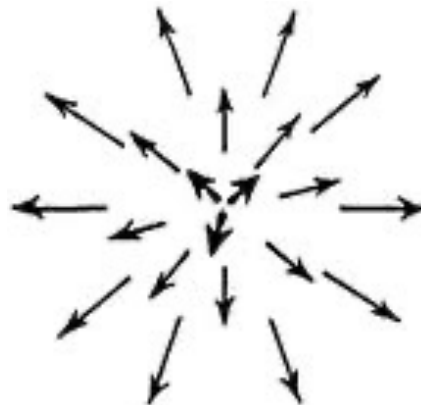
Disclinação em cristal líquido



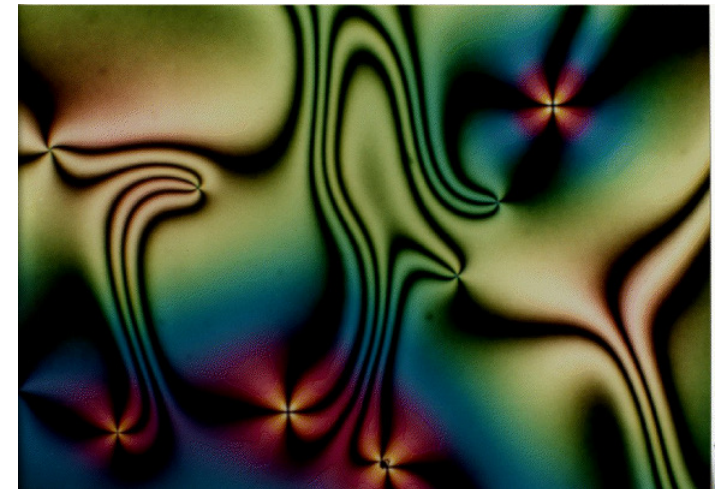
Vórtice supercondutor



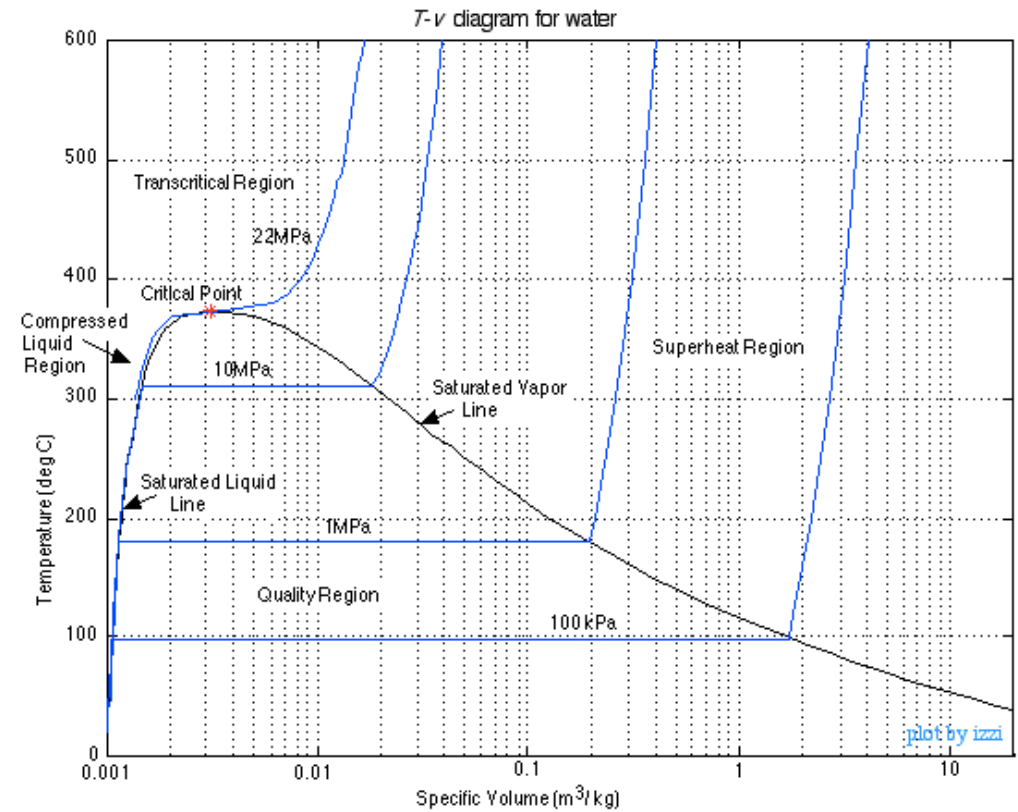
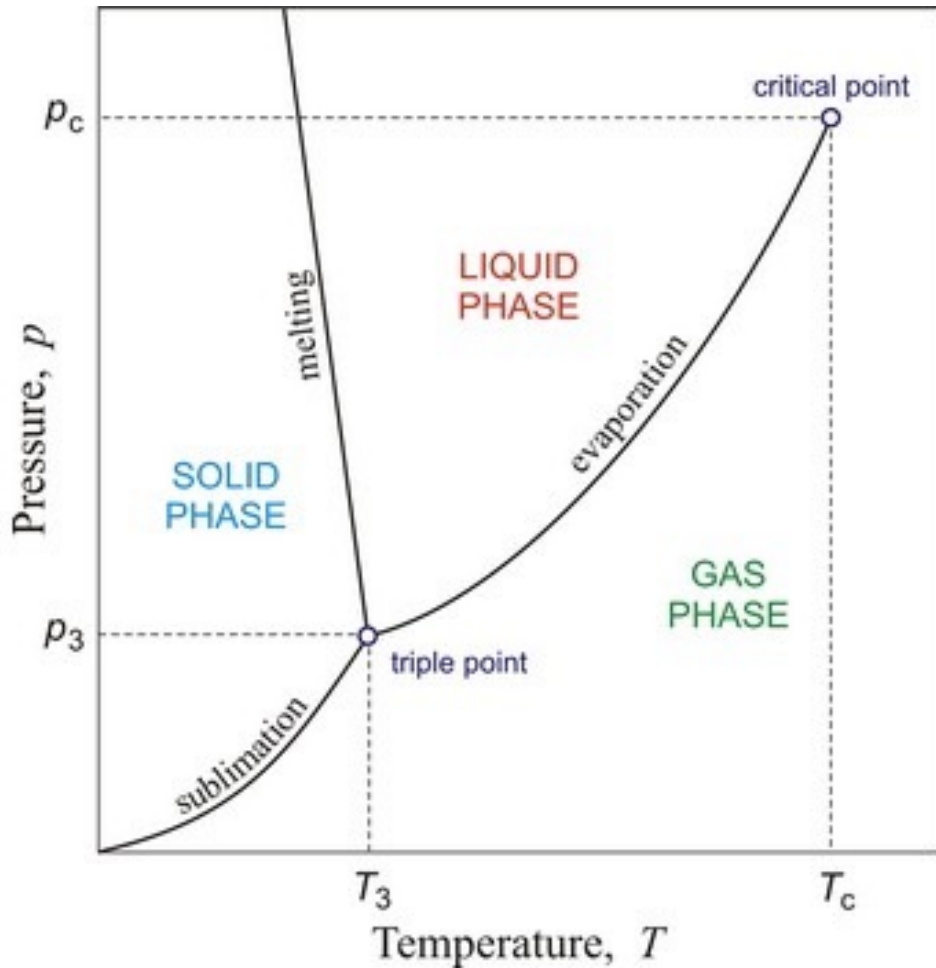
Porco-espinho



Boojum em um nemático



Universalidade



Universalidade

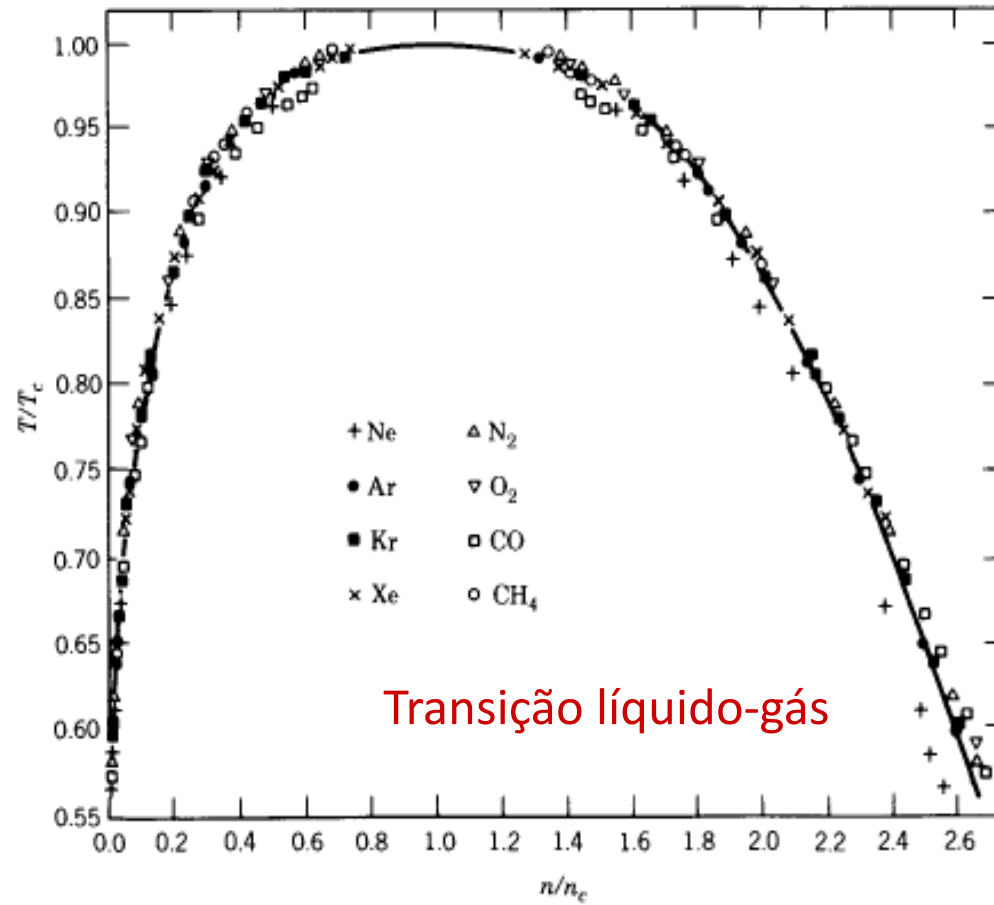


Fig. 16.2 Reduced temperature vs. reduced density in the gas-liquid coexistence region, for eight different substances.

Expoentes críticos

$$M(T) = \text{Tr} \left\{ \frac{e^{-\beta H}}{Z} S(\mathbf{r}) \right\} \text{ ferromagneto}$$

$$\rho(T) = \text{Tr} \left\{ \frac{e^{-\beta H}}{Z} \rho(\mathbf{r}) \right\} \text{ líquido - gás}$$

$$C_V(T) \sim \frac{1}{|T - T_c|^\alpha}$$

$$O(\mathbf{r}) = \begin{cases} S(\mathbf{r}) - M(T) & \text{ferromagneto} \\ \rho(\mathbf{r}) - \rho(T) & \text{líquido - gás} \end{cases}$$

$$T < T_c : \begin{cases} M(T) \sim (T_c - T)^\beta \\ \rho_l(T) - \rho_g(T) \sim (T_c - T)^\beta \end{cases}$$

$$G(\mathbf{r}) = \text{Tr} \left\{ \frac{e^{-\beta H}}{Z} O(\mathbf{r}) O(0) \right\} \sim \begin{cases} e^{-r/\xi(T)} / r^{(d-1)/2} & T < T_c \text{ ou } T > T_c \\ 1/r^{d-2+\eta} & T = T_c \end{cases}$$

$$\xi(T) \sim \frac{1}{|T - T_c|^\nu}$$

Exponentes críticos

3D Ising exponents		ν	α	η	β
EXPT	liquid-vapour	0.6297(4)	0.111(1)	0.042(6)	0.324(2)
	fluid mixtures	0.6297(7)	0.111(2)	0.038(3)	0.327(3)
	uniaxial magnets	0.6300(17)	0.110(5)		0.325(2)
PFT	6,7- <i>l</i> MZM [16]	0.6304(13)	0.109(4)	0.034(3)	0.326(1)
	$O(\varepsilon^5)$ exp [16]	0.6290(25)	0.113(7)	0.036(5)	0.326(3)
Lattice	HT exp [17]	0.63012(16)	0.1096(5)	0.0364(2)	0.3265(1)
	MC [18]	0.63020(12)	0.1094(4)	0.0368(2)	0.3267(1)

Table 1: Estimates of the critical exponents of the 3D Ising universality class, from experiments (taken from the review [1]), resummation of the FT 6,7-loop calculations within the MZM scheme and of $O(\varepsilon^5)$ expansions, and from lattice techniques: 25th order high-temperature (HT) expansion and Monte Carlo (MC) simulations.

E. Vicari, Critical phenomena and renormalization-group flow of multi-parameter Φ^4 field theories, PoSLAT2007, 023 (2007)